

Лежнев М.В.

ЗАДАЧА ОБТЕКАНИЯ И ФУНКЦИИ ТОКА ПРИСОЕДИНЕННОГО ВИХРЯ

Для задачи потенциального обтекания контура дано представление функции тока при соединенного вихря, построен алгоритм численного решения задачи. Приведены картины течений для присоединенного вихря в единичном круге.

1. Рассмотрим задачу плоского обтекания ограниченной области Q с достаточно гладкой границей S ($S \in C^{1+\alpha}$, $\alpha > 0$) потенциальным потоком несжимаемой жидкости в неограниченной области $Q^+ = R^2 \setminus Q$ требуется построить векторное поле скоростей $\bar{w}(x) = \{u(x), v(x)\}$, $x = (x_1, x_2)$, удовлетворяющее условиям: а) $\operatorname{div} \bar{w}(x) = 0$, $\operatorname{rot} \bar{w}(x) = 0$ при $x \in Q^+$, б) задана скорость на бесконечности $\bar{w}(\infty) = \{u_0, v_0\}$, в) граница S есть линия тока.

Для такого векторного поля существует функция тока $\psi(x)$: $\bar{w}(x) = \left\{ \frac{\partial}{\partial x_2}, -\frac{\partial}{\partial x_1} \right\} \psi$.

Обтекаемую область по предположению Жуковского [1] можно заменить присоединенным вихрем, который порождает данное обтекающее течение, т.е. внешнее течение и присоединенный вихрь непрерывно продолжают друг друга через гладкие части границы.

Функция тока такого течения может быть представлена в виде [2]

$$\psi(x) = (u_0 x_2 - v_0 x_1) + \int_Q g(y) E(x-y) dy, \quad (1)$$

где g — гармоническая плотность присоединенных вихрей $g(y)$ может быть как угодно приближена суммами вида $\sum c_m \gamma_m(y)$, $\gamma_m(y) = \ln|z^m - y|$, $\{z^m\}_{m=1}^{\infty} \in Q^+$ — последовательность различных точек, удовлетворяющих условию единственности гармонических функций [2], $E(x)$ — фундаментальное решение уравнения Лапласа.

2. Алгоритм приближенного представления функции тока. Условие непротекания в) может быть переписано в виде $\psi(x) = \text{const} = b$ при $x \in S$. Вариационная задача $\|\psi(x) - b\|_{L_2(S)}^2 \rightarrow \min_c$ для нахождения коэффициентов c_m разложения $g(y) \approx \sum_{m=1}^M c_m \gamma_m(y)$, $y \in Q$, приводит к СЛАУ $Ac = d$ с матрицей Грама $A(M \times M)$, где ее элемент

$\sigma_{pr} = \int_S \mu_p(x) \mu_n(x) ds$, $\mu_p(x) = \int_Q \gamma_p(y) E(x-y) dy$, правая часть состоит из элементов вида

$\psi_p = \int_S (b - (u_0 x_2 - v_0 x_1)) E(x-y) dy$. Не ограничивая общности, будем далее полагать $b = 1$.

3. Особенности численной реализации алгоритма Функция тока $\psi(x)$ представляется суммой трех слагаемых $\psi(x) = u_0 \psi_U(x) + v_0 \psi_V(x) + \gamma \psi_B(x)$, где

$\psi_U(x) = x_2 + \sum c_m^u \mu_m(x)$, $\psi_V(x) = -x_1 + \sum c_m^v \mu_m(x)$ и $\psi_B(x) = \sum c_m^b \mu_m(x)$, коэффициенты этих

представлений получались решением задач $\|\psi_U(x)\|_{c^u}^2 \rightarrow \min$, $\|\psi_V(x)\|_{c^v}^2 \rightarrow \min$ и

$\|\psi_B(x) - 1\|_{c^b}^2 \rightarrow \min$ Линии уровня $\psi_U(x)$ соответствуют бесциркуляционному течению со

числением $\bar{w}(\infty) = \{1, 0\}$ (для присоединенного вихря в единичном круге картина линий тока

приведена на рисунке 1), линии уровня $\psi_V(x)$ – бесциркуляционному обтеканию с

$\bar{w}(\infty) = \{0, 1\}$, $\psi_B(x)$ – чисто циркуляционному обтеканию с $\bar{w}(\infty) = 0$ (рисунок 2).

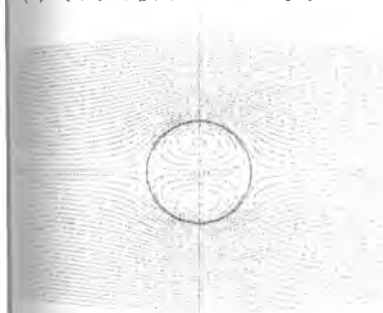


Рис.1. Линии уровня ψ_U

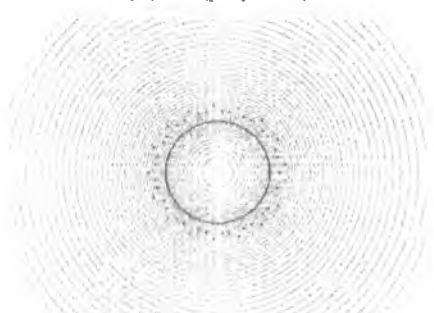


Рис.2. Линии уровня ψ_B

4. Результаты численного эксперимента. Для обтекания со скоростью на бесконечности $\bar{w}(\infty) = \{u_0, v_0\}$ и некоторой циркуляцией, за которую отвечает лишь слагаемое $\psi_B(x)$,

картина получается линейной комбинацией предыдущих трех с коэффициентами u_0 , v_0 и γ ,

соответственно. В частности, для потока, набегающего под углом $\alpha = 30^\circ$ ($|\bar{w}(\infty)| = 1$) и зна-

чениями $\gamma = -0.0002$ и $\gamma = -0.0004$, картины обтекания присоединенного вихря в круге при-

ведены на рисунках 3 и 4.

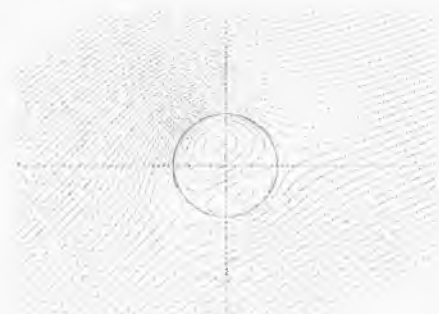


Рис. 3. $\alpha=30^\circ$, $\gamma=-0.0002$

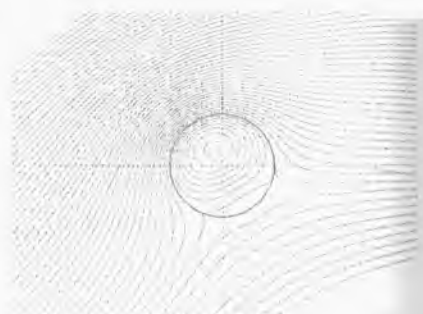


Рис. 4. $\alpha=30^\circ$, $\gamma=-0.0004$

5. Рассмотрим внутренний вихрь с условием прилипания на границе. Представление (1) для функции тока не единственно, в частности, под интегралом к $g(y)$ можно добавить любую функцию $h(y)$ из ортогонального к $G(Q)$ подпространства в $L_2(Q)$, что дает к $\psi(x)$ нулевую в Q^+ поправку. Таким образом, общее представление для функции тока имеет вид

$$\psi_1(x) = (u_0 x_2 - v_0 x_1) + \int_Q (h(y) + g(y)) E(x-y) dy, \quad (2)$$

где $h(y) \in N(Q)$, $L_2(Q) = G(Q) \oplus N(Q)$ – разложение пространства $L_2(Q)$ в прямую сумму гармонического и ортогонального ему подпространств. Функции $\psi(x)$ и $\psi_1(x)$ представляют одно и то же течение в Q^+ , но они различны в Q . В силу того, что в (2) $h(y) \in N(Q)$, а $g(y)$ – гармоническая, то при $h(y) = 0$ мы получаем присоединенный вихрь с минимальной завихренностью, порождающий внешнее течение с $\bar{w}(\infty) = \{u_0, v_0\}$. Добавка $\psi_N(x) = \int_Q h(y) E(x-y) dy$ порождает вихрь в Q с условием прилипания на границе.

Для построения $h(y)$ из $N(Q)$ достаточно взять лапласиан от функции, равной нулю на границе вместе со своей нормальной производной. В частности, для функции $h_1(y) = \Delta((1-R^2)^2)$, где $R^2 = y_1^2 + y_2^2$, линии тока функции $\psi_{N_1}(x) = \int_Q h_1(y) E(x-y) dy$ приведены на рисунке 5.

С учетом введенных обозначений ψ_U , ψ_V , ψ_B и ψ_N функцию тока ψ_1 можно представить в виде $\psi_1 = u_0 \psi_U + v_0 \psi_V + \gamma \psi_B + R \psi_N$, где R – некоторая константа, отвечающая за интенсивность внутреннего вихря функции ψ_N .

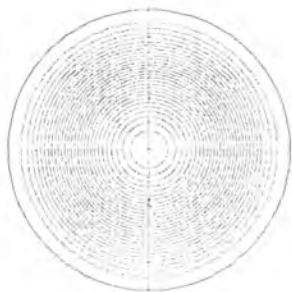


Рис.5. Линии уровня $\psi_{N1}(x)$

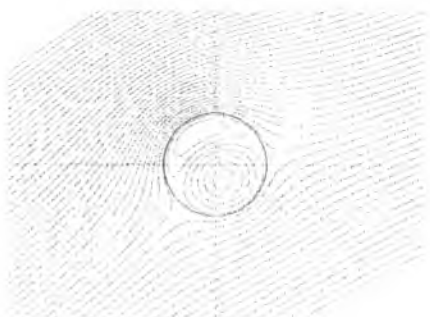


Рис. 6. $\alpha=30^\circ, \gamma=-0.0002, R=1$

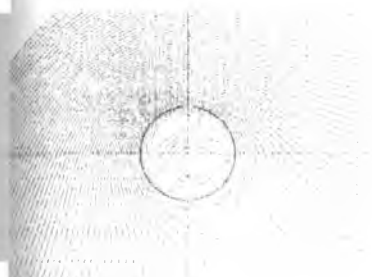


Рис. 7. $\alpha=30^\circ, \gamma=-0.0008, R=2$

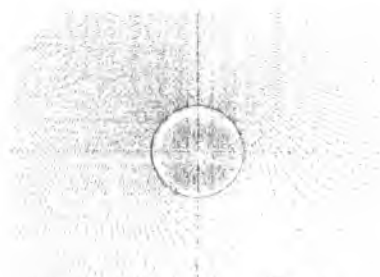


Рис. 8. $\alpha=30^\circ, \gamma=-0.0008, R=5$

Для внутреннего вихря $\psi_{N1}(x)$ с интенсивностью $R_1 = 1$ и значениями $\alpha = 30^\circ$

$|\psi(\infty)| = 1$ и $\gamma = -0.0002$ картина приведена на рисунке 6, с интенсивностями $R_1 = 2$ и

$R_1 = 5$ при $\alpha = 30^\circ$ и $\gamma = -0.0008$ картины течений приведены на рисунках 7 и 8.

Во всех случаях число базисных точек M бралось равным 50, располагались они на двух окружностях вокруг Q , изображены они на рисунке 2. Алгоритм реализован на языке программирования Fortran, графика – на языке Pascal. Для счета интегралов с особенностями использовались подпрограммы пакета MS IMSL.

Работа поддержана грантом РФФИ-Юг № 03-01-96587.

БИБЛИОГРАФИЧЕСКИЙ СПИСОК

Лойцянский Л.Г. Механика жидкости и газа – М.: Наука, 1978.

Лежнев В.Г., Данилов Е.А. Задачи плоской гидродинамики – Краснодар: КубГУ, 2000.